

21世纪 信息通信系列教材

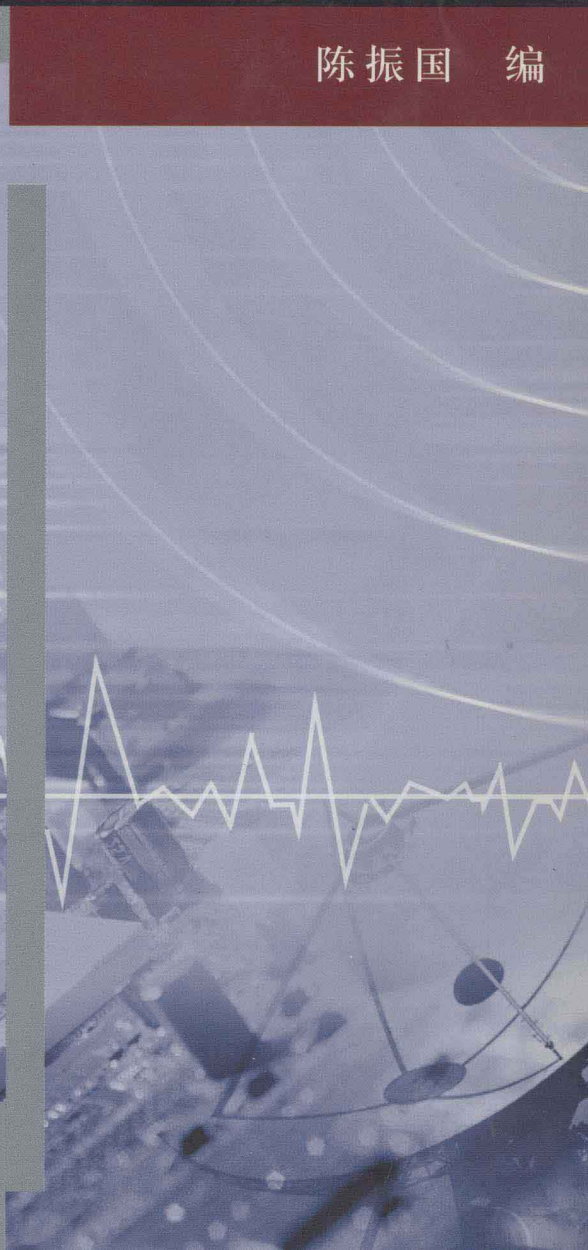
微波技术基础与应用

WEIBO JISHU JICHU YU YINGYONG

陈振国 编



北京邮电大学出版社
www.buptpress.com



微波技术基础与应用

陈振国 编

北京邮电大学出版社

· 北京 ·

内 容 提 要

本书为高等工科院校通信专业的专业基础课教材。书中首先讲解传输线理论、微波传输线、微波网络基础，以此作为全书的理论基础。其次讲解基本无源部件，如微波谐振器、功分器、耦合器、滤波器和微波铁氧体器件等的原理和工程设计。对于微波有源电路的设计，以及主要微波系统和应用，书中也作了简明介绍。近年来微波技术中的一些新进展，如介质谐振器和开腔、YIG 宽带电调谐、微波电路机辅设计，以及微波测量中常用的矢量网络分析仪、微波频谱仪等，在书中也有简要叙述。书中每章都有一些例题和习题，便于读者加深理解和练习。

图书在版编目 (C I P) 数据

微波技术基础与应用 / 陈振国编. - 2 版. - 北京:
北京邮电大学出版社, 2002
ISBN 7-5635-0240-8

I . 微... II . 陈... III . 微波技术 - 高等学校 - 教
材 IV . TN015

中国版本图书馆 CIP 数据核字 (2002) 第 016772 号

书 名:微波技术基础与应用
作 者:陈振国
责任编辑:王守平
出版者:北京邮电大学出版社(北京市海淀区西土城路 10 号)邮编:100876
发行部电话:(010) 62282185 62283578(传真)
经 销:各地新华书店
印 刷:北京忠信胶印厂印刷
开 本:787mm × 1092mm 1/16
印 张:19.75
插 页:1
字 数:503 千字
印 数:2001 — 5000 册
版 次:2002 年 3 月第 2 版 2002 年 3 月第 1 次印刷

ISBN 7-5635-0240-8/TN·102

定价: 33.00 元

如有印装质量问题请与北京邮电大学出版社发行部联系

前　　言

本书系高等工科院校通信专业的专业基础课教材。它是我校原用教材（《微波技术基础》，贺瑞霞等编写）的更新版。

考虑到近十余年来，微波技术的新发展和广泛应用，以及工科学生毕业后工作的需要，在编写本教材时，力求基本理论讲解与工程实践并重，并且简要介绍微波技术在主要系统中的应用。

书中第1章至第3章为传输线理论、微波传输线、微波网络基础，它们是全书的理论基础。每章后面都随同讲解某些实践内容，如宽带阻抗匹配和调谐、同轴接头、矢量网络分析仪简介、微波电路中的不连续性和补偿等实际工程问题。第4至第6章叙述几种基本微波无源部件的工作原理和设计，如微波谐振器、功分器、耦合器和混合环、微波滤波器及常用铁氧体器件等。第7章扼要讲解微波有源电路。第8章简单介绍微波技术在一些领域的主要应用。

本书的教学参考学时为51～68学时，打“*”者为偏难部分，可由授课教师按学时情况取舍。本书由陈振国负责编写，赵冬梅同志自始至终，协同进行了大量的工作，特别是第7章和习题内容的选编。另外贺丰、苏菁也做了很多工作。书中部分内容和习题来自原教材。D. M. Pozar的《Microwave Engineering》是本书编写时的主要参考书之一。

由于编者水平有限，而且编写时间较紧，书中难免还存在一些缺点和错误，希望读者批评指正。

编　　者

目 录

第1章 传输线理论和阻抗匹配

| | | |
|-------|-------------------------------------|------|
| 1.1 | 传输线的集中参数等效电路和场分析方法 | (1) |
| 1.1.1 | 传输线的集中参数等效电路..... | (1) |
| 1.1.2 | 传输线上的场分析..... | (3) |
| 1.2 | 端接不同负载时的无损传输线 | (6) |
| 1.2.1 | 传输线上波的反射现象..... | (6) |
| 1.2.2 | 输入阻抗..... | (8) |
| 1.2.3 | 传输系数和插入损耗..... | (9) |
| | 注：分贝(dB)和奈培(Np) | (10) |
| 1.3 | 阻抗和导纳(SMITH)圆图 | (10) |
| 1.3.1 | 阻抗圆图 | (10) |
| 1.3.2 | 阻抗圆图的实际应用 | (12) |
| 1.3.3 | 阻抗-导纳组合圆图 | (13) |
| 1.4 | $\lambda/4$ 阻抗变换器、信号源与负载阻抗的匹配 | (13) |
| 1.4.1 | $\lambda/4$ 阻抗变换器 | (13) |
| 1.4.2 | 信号源与负载阻抗的匹配问题 | (16) |
| 1.4.3 | 测量线 | (18) |
| 1.5 | 阻抗匹配和调谐 | (19) |
| 1.5.1 | 单支节调谐 | (20) |
| 1.5.2 | 双支节调谐 | (24) |
| 1.5.3 | $\lambda/4$ 阻抗变换器的幅频特性 | (27) |
| | 注：用于微波集成电路的集中参数元件 | (29) |
| 1.6 | 小反射理论和宽带阻抗变换器 | (29) |
| 1.6.1 | 小反射理论 | (29) |
| 1.6.2 | 最平特性多节阻抗变换器 | (31) |
| 1.6.3 | 等波纹特性多节阻抗变换器 | (33) |
| 1.6.4 | 渐变线 | (36) |
| 1.6.5 | 最大匹配带宽准则(Blde-Fano 准则) | (37) |
| 1.7 | 有损耗传输线 | (40) |
| 1.7.1 | 低损耗传输线 | (40) |
| 1.7.2 | 无失真线 | (41) |
| 1.7.3 | 端接任意负载的有损传输线 | (41) |
| 1.7.4 | 用微扰法计算衰减 | (42) |
| 1.8 | 传输线上的瞬变过程 | (43) |

| | | |
|-----------|-----------------------------|------|
| 1.8.1 | 多次反射(Bounce Diagrams) | (43) |
| 1.8.2 | 变换解 | (44) |
| 习 题 | | (46) |

第 2 章 微波传输线

| | | |
|-----------|-------------------------------|------|
| 2.1 | TEM, TE 和 TM 波的一般解 | (50) |
| 2.1.1 | TEM 波 | (51) |
| 2.1.2 | TE 波和 TM 波 | (52) |
| 2.1.3 | 波导中电磁波的传输特性 | (54) |
| 2.1.4 | 由介质损耗产生的衰减 | (57) |
| 2.2 | 矩形金属波导 | (58) |
| 2.2.1 | TE 和 TM 波场方程 | (58) |
| 2.2.2 | 矩形波导中电磁波的传输特性 | (59) |
| 2.2.3 | 矩形波导中的 TE_{10} 波 | (60) |
| 2.2.4 | 矩形波导中高次模的场结构 | (65) |
| 2.2.5 | 波导中部分介质填充时的 TE_{m0} 模 | (66) |
| 2.3 | 圆波导 | (68) |
| 2.3.1 | 圆波导中 TE, TM 波场方程 | (68) |
| 2.3.2 | 圆波导中电磁波的传输特性 | (71) |
| 2.3.3 | 圆波导中几种常用波型 | (73) |
| 2.4 | 同轴线的高次模及单模传输 | (75) |
| 2.4.1 | 同轴线中的高次模 | (75) |
| 注: | 同轴接头 | (78) |
| 2.4.2 | 平行板传输线 | (78) |
| 2.5 | 带状线和微带 | (80) |
| 2.5.1 | 带状线 | (80) |
| 2.5.2 | 微带线 | (84) |
| 2.6 | 介质波导和其他微波传输线 | (89) |
| 2.6.1 | 介质波导(表面波传输线) | (89) |
| 2.6.2 | 其他微波传输线 | (93) |
| 习 题 | | (98) |

第 3 章 微波网络概要和散射参量

| | | |
|-------|---------------------|-------|
| 3.1 | 阻抗、等效电压和电流 | (101) |
| 3.1.1 | 阻抗、等效电压和电流 | (101) |
| 3.1.2 | 单端口网络的阻抗特性 | (105) |
| 3.2 | 微波网络主要特点及散射矩阵 | (107) |
| 3.2.1 | 阻抗矩阵和导纳矩阵 | (108) |
| 3.2.2 | 散射矩阵 | (110) |
| 注: | 矢量网络分析仪 | (110) |

| | | |
|---------|-------------------------|-------|
| 3.2.3 | 转移矩阵(ABCD 矩阵)..... | (116) |
| 3.3 | 二端口网络 | (118) |
| 3.3.1 | 二端口网络的等效电路..... | (118) |
| 3.3.2 | 二端口网络的互接..... | (120) |
| 3.3.3 | 二端口网络的工作特性参量..... | (121) |
| 3.3.4 | 二端口网络的功率增益..... | (124) |
| 3.4 | 不连续性的等效电路分析 | (126) |
| * 3.4.1 | 矩形波导中 H 平面阶梯的模型分析 | (127) |
| 3.4.2 | 微带中的不连续性和补偿..... | (129) |
| | 注: 微波电路的机辅设计(CAD) | (132) |
| | 习 题..... | (132) |

第 4 章 微波谐振器

| | | |
|-------|---------------------------|-------|
| 4.1 | 串联和并联谐振回路 | (137) |
| 4.1.1 | 串联谐振回路..... | (137) |
| 4.1.2 | 并联谐振回路..... | (139) |
| 4.1.3 | 有载和无载 Q 值 | (140) |
| 4.2 | 传输线谐振器 | (141) |
| 4.2.1 | $\lambda/2$ 短路线 | (141) |
| 4.2.2 | $\lambda/4$ 短路线 | (142) |
| 4.2.3 | $\lambda/2$ 开路线 | (143) |
| 4.2.4 | 电容负载同轴腔(缩短腔)..... | (144) |
| 4.3 | 矩形和圆柱形波导谐振腔 | (145) |
| 4.3.1 | 矩形波导腔..... | (146) |
| 4.3.2 | 圆柱形波导腔..... | (148) |
| 4.4 | 介质谐振器和开腔 | (152) |
| 4.4.1 | 介质谐振器..... | (152) |
| 4.4.2 | 开腔(Fabry-Perot 谐振器) | (156) |
| 4.5 | 谐振器的激励和耦合 | (159) |
| 4.5.1 | 临界耦合..... | (159) |
| 4.5.2 | 用缝隙耦合的微带谐振器..... | (160) |
| 4.5.3 | 小孔耦合谐振器..... | (162) |
| 4.5.4 | 介质谐振器与微带电路的耦合..... | (163) |
| 4.6 | 微波谐振腔的微扰和测量 | (163) |
| 4.6.1 | 谐振腔的微扰..... | (163) |
| 4.6.2 | 用网络分析仪测量谐振器..... | (166) |
| | 习 题..... | (169) |

第 5 章 功分器、定向耦合器和混合环

| | | |
|-----|-------------------------|-------|
| 5.1 | 功分器、耦合器和混合接头的基本特性 | (172) |
|-----|-------------------------|-------|

| | | |
|----------|----------------------------|-------|
| 5.1.1 | 三端口网络(T型接头)..... | (172) |
| 5.1.2 | 四端口网络(定向耦合器和混合接头)..... | (174) |
| 5.2 | T型接头和微带功分器 | (176) |
| 5.2.1 | T型接头功分器..... | (176) |
| 5.2.2 | 微带功分器(Wilkinson 功分器) | (178) |
| 5.3 | 定向耦合器 | (181) |
| 5.3.1 | 波导定向耦合器..... | (182) |
| 5.3.2 | 分支线(90°)耦合器 | (185) |
| 5.3.3 | 耦合线定向耦合器..... | (188) |
| 5.3.4 | Lange 耦合器..... | (194) |
| 5.4 | 180° 混合环 | (196) |
| 5.4.1 | 180° 混合环 | (196) |
| 5.4.2 | 波导魔 T 接头 | (199) |
| | 注：微波反射计 | (200) |
| 习 题..... | | (201) |

第6章 微波滤波器和铁氧体元件

| | | |
|----------|-------------------------|-------|
| 6.1 | 用插入损耗法设计滤波器 | (204) |
| 6.1.1 | 用功率损耗比表征插损..... | (204) |
| 6.1.2 | 最平特性低通滤波器原型..... | (206) |
| 6.1.3 | 等波纹特性低通滤波器原型..... | (208) |
| 6.1.4 | 线性相位低通滤波器原型..... | (211) |
| 6.2 | 滤波器的变换和实现 | (211) |
| 6.2.1 | 滤波器的变换..... | (211) |
| 6.2.2 | 滤波器的实现..... | (215) |
| 6.2.3 | 阻抗和导纳逆变器..... | (219) |
| 6.3 | 几种典型的滤波器设计 | (220) |
| 6.3.1 | 阶梯阻抗低通滤波器..... | (220) |
| 6.3.2 | 耦合线滤波器..... | (222) |
| 6.3.3 | 用耦合谐振腔构成的滤波器..... | (230) |
| 6.4 | 铁氧体工作原理 | (235) |
| 6.4.1 | 铁氧体一般性能..... | (235) |
| 6.4.2 | 电子进动运动 张量导磁率..... | (237) |
| 6.4.3 | 圆极化波磁场作用下铁氧体的导磁率..... | (240) |
| 6.4.4 | 铁氧体的旋磁特性..... | (242) |
| 6.5 | 常用铁氧体器件 | (244) |
| 6.5.1 | 铁氧体隔离器..... | (244) |
| 6.5.2 | 铁氧体环行器..... | (247) |
| 6.5.3 | YIG(钇铁石榴石)宽带电调谐振器 | (252) |
| 习 题..... | | (254) |

第7章 微波有源电路

| | | |
|-------|--------------------|-------|
| 7.1 | 微波系统中的噪声 | (256) |
| 7.1.1 | 动态范围和噪声源..... | (256) |
| 7.1.2 | 噪声功率和等效噪声温度..... | (257) |
| 7.1.3 | 用Y因子法测噪声温度 | (258) |
| 7.1.4 | 噪声系数..... | (259) |
| 7.1.5 | 级联系统的噪声系数..... | (260) |
| 7.2 | 检波器和混频器 | (261) |
| 7.2.1 | 单端混频器..... | (263) |
| 7.2.2 | 平衡混频器..... | (264) |
| 7.2.3 | 其他类型混频器..... | (265) |
| 7.2.4 | 交调产物..... | (265) |
| | 注：频谱分析仪 | (266) |
| 7.3 | 晶体管放大器设计 | (266) |
| 7.3.1 | 转移增益和稳定性..... | (266) |
| 7.3.2 | 最大增益(共轭匹配)设计..... | (269) |
| 7.3.3 | 固定增益圆和特殊增益设计..... | (270) |
| 7.3.4 | 固定噪声系数圆和低噪声设计..... | (272) |
| 7.3.5 | 偏置..... | (274) |
| 7.4 | 振荡器的设计 | (274) |
| 7.4.1 | 单端口负阻振荡器..... | (275) |
| 7.4.2 | 晶体管振荡器..... | (276) |
| 7.5 | PIN二极管控制电路 | (277) |
| 7.5.1 | 单刀单掷开关..... | (277) |
| 7.5.2 | PIN二极管移相器..... | (279) |
| 7.6 | 微波集成电路(MIC) | (280) |
| | 习题..... | (281) |

第8章 微波系统简介

| | | |
|-------|------------------------------|-------|
| 8.1 | 微波通信系统 | (283) |
| 8.1.1 | 通信系统的类型..... | (283) |
| 8.1.2 | 功率传播方程(Friis Equation) | (284) |
| 8.1.3 | 微波发射机和接收机..... | (285) |
| 8.2 | 雷达系统 | (287) |
| 8.2.1 | 雷达方程..... | (287) |
| 8.2.2 | 脉冲雷达..... | (288) |
| 8.2.3 | 多普勒(Doppler)雷达 | (289) |
| 8.3 | 无线电辐射计 | (290) |
| 8.3.1 | 无线电辐射计的理论和应用..... | (290) |

| | |
|---------------|-------|
| 8.3.2 总功率辐射计 | (291) |
| 8.4 微波的其他应用 | (292) |
| 8.4.1 微波炉 | (292) |
| 8.4.2 能量传递 | (293) |
| 8.4.3 生物效应和安全 | (293) |

附录

| | |
|--------------------|-------|
| 附录一 贝塞尔函数及其他常用数学公式 | (295) |
| 附录二 物理常数 | (297) |
| 附录三 多节阻抗变换器设计表 | (297) |
| 附录四 标准微带设计表 | (298) |
| 附录五 耦合微带线设计曲线 | (301) |

参考文献

第1章

传输线理论和阻抗匹配

一般传输线由两个(或两个以上)导体组成,用来传输横电磁波(TEM 波)。常用传输线有双线、同轴线、带状线和微带线等,如图 1.1 所示。

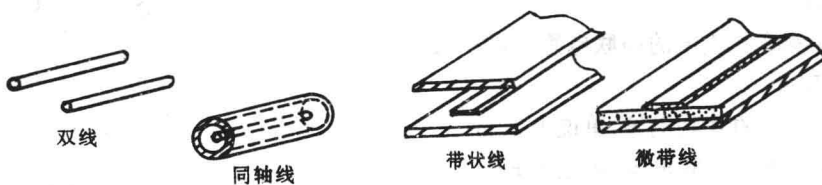


图 1.1 常用 TEM 波传输线

传输线理论实际上是分布参数电路理论,它是在高频以上的频率(VHF/UHF)中用来研究微波传输线和微波网络的理论基础,它将基本电路理论与电磁场理论相结合,具有重要的实用价值。下面会见到,传输线上电磁波的传输现象,可以认为是电路理论的扩展;也可用麦克斯威方程的特殊化来逼近,从而引出传输线上电磁波传播与空间平面波传播现象的类同性。

本章先以双线传输线为例,主要用电路的方法,分析传输线的传输特性及其参量,同时也叙述怎样用电磁场方法求出这些传输参量;然后介绍怎样利用(SMITH)阻抗圆图进行传输线阻抗计算和匹配;最后讨论工程上广泛使用的宽带阻抗变换和匹配问题。为适应传输宽频带、高速数字信号技术发展的需要,本章也简要涉及传输线上的瞬态过程。

1.1 传输线的集中参数等效电路和场分析方法

1.1.1 传输线的集中参数等效电路

电路理论与传输线理论的区别,关键是电气尺寸和波长的关系。电路分析中任意网络的尺寸比工作波长小得多,因而在电路中可以不考虑各点电压、电流的幅度和相位变化,沿线电压、电流只与时间因子有关,而与空间位置无关,分布参数产生的影响可以忽略;而在传输线中,传输线长度与工作波长可以比拟,或者是多个波长长,即所谓的长线,这时传输线上电压、电流不仅是时间的函数,而且还是位置的函数,如图 1.2 所示,这时必须考虑分布参数效应。

什么是分布参数效应呢?由电磁场理论知,当高频信号通过传输线时,会产生下列分布参数:导线流过电流时,周围会产生高频磁场,因而沿导线各点会存在串联分布电感;两导线间加上电压时,线间会存在高频电场,于是线间会产生并联分布电容;电导率有限的导线流过电流时会发热,而且高频时由于趋肤效应,电阻会加大,即表明线本身有分布电阻;导线间介质非理想时有漏电流,这就意味着导线间有分布漏电导。这些分布参数在低频时的影响较小,可忽略;

而在高频时引起的沿线电压、电流幅度变化、相位滞后是不能忽略的，这就是所谓的分布参数效应。

如果传输线的分布参数沿线是均匀的，则称这种传输线是均匀传输线，否则就是不均匀传输线。一段微分长度 Δz 的均匀传输线，可以将它表示成如图 1.2(b) 所示。图中的 R, L, G, C 分别为单位长度的分布电阻、电感、电导和电容，定义如下：

R =双导线单位长度的串联电阻，单位为 Ω/m

L =双导线单位长度的串联电感，单位为 H/m

G =单位长度的并联电导，单位为 S/m

C =单位长度的并联电容，单位为 F/m
一定长度的传输线，可以表示为很多段上述等效电路的级联，对于图 1.2(b) 应用克希荷夫电压和电流定律，得

$$v(z,t) - R\Delta z i(z,t) - L\Delta z \frac{\partial i(z,t)}{\partial t} - v(z+\Delta z,t) = 0 \quad (1.1a)$$

$$i(z,t) - G\Delta z v(z+\Delta z,t) - C\Delta z \frac{\partial v(z+\Delta z,t)}{\partial t} - i(z+\Delta z,t) = 0 \quad (1.1b)$$

将(1.1)式除以 Δz ，并且取极限 $\Delta z \rightarrow 0$ ，得出下列微分方程

$$\frac{\partial v(z,t)}{\partial z} = -Ri(z,t) - L \frac{\partial i(z,t)}{\partial t} \quad (1.2a)$$

$$\frac{\partial i(z,t)}{\partial z} = -Gv(z,t) - C \frac{\partial v(z,t)}{\partial t} \quad (1.2b)$$

对具有余弦相位因子的稳态情况，(1.2)式可简化为

$$\frac{dV(z)}{dz} = -(R + j\omega L)I(z) \quad (1.3a)$$

$$\frac{dI(z)}{dz} = -(G + j\omega C)V(z) \quad (1.3b)$$

注意：(1.3)式在形式上与麦克斯威方程的旋度方程类似。

1. 传输线上波的传播

同时求解(1.3)式两个方程，给出 $V(z)$ 和 $I(z)$ 的波动方程为

$$\frac{d^2V(z)}{dz^2} - \gamma^2 V(z) = 0 \quad (1.4a)$$

$$\frac{d^2I(z)}{dz^2} - \gamma^2 I(z) = 0 \quad (1.4b)$$

式中

$$\gamma = \alpha + j\beta = \sqrt{(R + j\omega L)(G + j\omega C)} \quad (1.5)$$

为复数传播常数，并且是频率的函数。可以找出方程(1.4)的行波解为

$$V(z) = V_0^+ e^{-\gamma z} + V_0^- e^{\gamma z} \quad (1.6a)$$

$$I(z) = I_0^+ e^{-\gamma z} + I_0^- e^{\gamma z} \quad (1.6b)$$

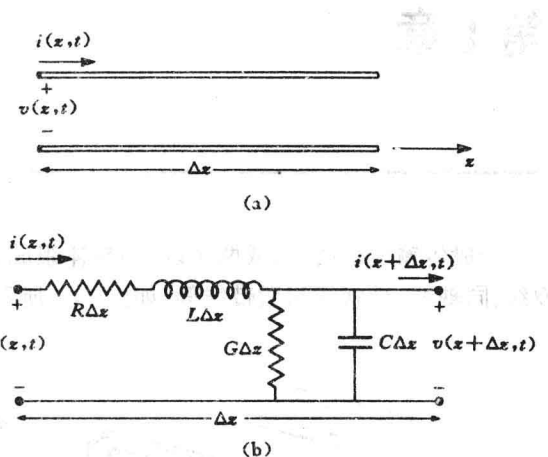


图 1.2 传输线上电压和电流的定义及其等效电路

公式中的 $e^{-\gamma z}$ 项表示波向 $+z$ 方向传播, $e^{\gamma z}$ 项表示波向 $-z$ 方向传播。

应用(1.3a)到(1.6a)式, 给出线上的电流为

$$I(z) = \frac{\gamma}{R + j\omega L} [V_0^+ e^{-\gamma z} - V_0^- e^{\gamma z}]$$

与(1.6b)式相比较, 定义特性阻抗 Z_0 为

$$Z_0 = \frac{R + j\omega L}{\gamma} = \sqrt{\frac{R + j\omega L}{G + j\omega C}} \quad (1.7)$$

Z_0 与传输线上电压、电流的关系为

$$\frac{V_0^+}{I_0^+} = Z_0 = -\frac{V_0^-}{I_0^-}$$

这时, (1.6b)式可以改写成以下形式

$$I(z) = \frac{V_0^+}{Z_0} e^{-\gamma z} - \frac{V_0^-}{Z_0} e^{\gamma z} \quad (1.8)$$

变换到瞬时值, 电压波形可以表示为

$$v(z, t) = |V_0^+| \cos(\omega t - \beta z + \varphi^+) e^{-\alpha z} + |V_0^-| \cos(\omega t + \beta z + \varphi^-) e^{\alpha z} \quad (1.9)$$

这时, φ^\pm 是复数电压 V_0^\pm 的相位角。与平面波讨论类似, 可写出线上的波长为

$$\lambda = \frac{2\pi}{\beta} \quad (1.10)$$

相速为

$$v_p = \frac{\omega}{\beta} = \lambda f \quad (1.11)$$

2. 无损耗传输线

上述解适用于一般传输线, 包含损耗的影响, 故得出的传播常数和特性阻抗均为复数。但在很多实际情况下, 传输线的损耗很小, 可以忽略, 从而使上述结果可以简化。设(1.5)式中的 $R=G=0$, 则传播常数为

$$\gamma = \alpha + j\beta = j\omega \sqrt{LC} \quad \text{或} \quad \beta = \omega \sqrt{LC} \quad \alpha = 0 \quad (1.12)$$

即无损耗线的衰减 $\alpha=0$, 这时(1.7)式的特性阻抗归结为

$$Z_0 = \sqrt{L/C} \quad (1.13)$$

它亦是实数。在无损耗线上, 电压和电流波的一般解可写为

$$V(z) = \underline{V_0^+ e^{-j\beta z}} + V_0^- e^{+j\beta z} \quad (1.14 \text{ a})$$

$$I(z) = \frac{V_0^+}{Z_0} e^{-j\beta z} - \frac{V_0^-}{Z_0} e^{+j\beta z} \quad (1.14 \text{ b})$$

波长为

$$\lambda = \frac{2\pi}{\beta} = \frac{2\pi}{\omega \sqrt{LC}} \quad (1.15)$$

相速为

$$v_p = \frac{\omega}{\beta} = 1/\sqrt{LC} \quad (1.16)$$

1.1.2 传输线上的场分析

这里, 先利用电路和电磁场理论导出传输线的几个电路参量; 然后用这些参量导出同轴线的波阻抗、特性阻抗、传输功率等。

1. 传输线参量

分析 一段 1m 长的均匀 TEM 波传输线, 其上电磁场分布如图 1.3 所示, S 是传输线的横截面。设导体间电压为 $V_0 e^{\pm j\beta z}$, 电流为 $I_0 e^{\pm j\beta z}$, 在 1m 长线上的时间平均磁储能为

$$W_m = \frac{\mu}{4} \int_S \mathbf{H} \cdot \mathbf{H}^* \text{①} dS$$

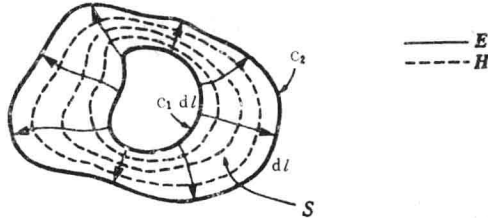


图 1.3 任意 TEM 传输线上的电磁场

由电路理论得出: $W_m = L |I_0|^2 / 4$ 。因此, 可得单位长电感为

$$L = \frac{\mu}{|I_0|^2} \int_S \mathbf{H} \cdot \mathbf{H}^* dS \quad \text{H/m} \quad (1.17)$$

类似地可求出单位长线上的时间平均电储能为

$$W_e = \frac{\epsilon}{4} \int_S \mathbf{E} \cdot \mathbf{E}^* dS$$

由电路理论得出: $W_e = C |V_0|^2 / 4$, 可得单位长电容为

$$C = \frac{\epsilon}{|V_0|^2} \int_S \mathbf{E} \cdot \mathbf{E}^* dS \quad \text{F/m} \quad (1.18)$$

由电磁场理论可知, 金属导体的电导率为有限时产生的单位长度功率损耗为: $P_c = \frac{R_s}{2} \int_{c_1+c_2} \mathbf{H} \cdot \mathbf{H}^* dl$ (式中假定 H 是围线 c_1, c_2 的切线分量), 而由电路理论得: $P_c = R |I_0|^2 / 2$, 所以单位长线的串联电阻为

$$R = \frac{R_s}{|I_0|^2} \int_{c_1+c_2} \mathbf{H} \cdot \mathbf{H}^* dl \quad \Omega/m \quad (1.19)$$

式中, $R_s = 1/\sigma\delta$ 是导体的表面电阻, $c_1 + c_2$ 表示在导体边界上的积分路径。由电磁场理论知, 在有损耗介质中, 单位长线的时间平均功率损耗为 $P_d = \frac{\omega\epsilon''}{2} \int_S \mathbf{E} \cdot \mathbf{E}^* dS$, 式中 ϵ'' 是复数介电常数 $\epsilon = \epsilon' - j\epsilon'' = \epsilon' (1 - j \tan \delta)$ 的虚部。由电路理论给出: $P_d = G |V_0|^2 / 2$, 所以单位长线的并联电导为

$$G = \frac{\omega\epsilon''}{|V_0|^2} \int_S \mathbf{E} \cdot \mathbf{E}^* dS \quad \text{S/m} \quad (1.20)$$

例 1.1 如图 1.4 所示的同轴线, 其内部 TEM 波行波场可表示为

$$\mathbf{E} = \frac{a_0 V_0}{r \ln b/a} e^{-\gamma z} \quad \mathbf{H} = \frac{a_0 I_0}{2\pi r} e^{-\gamma z}$$

式中, γ 是传播常数。假定导体的表面电阻为 R_s , 而导体间填充介质具有的复数介电常数为 $\epsilon = \epsilon' - j\epsilon''$, 导磁率 $\mu = \mu_0 \mu_r$, 试确定传输线参量。

解 由(1.17)~(1.20)式和上述电磁场, 可得出同轴线参量为

① 本书以黑体字表示矢量。

$$L = \frac{\mu}{(2\pi)^2} \int_0^{2\pi} \int_a^b \frac{1}{r^2} r dr d\varphi = \frac{\mu}{2\pi} \ln b/a \quad \text{H/m}$$

$$C = \frac{\epsilon'}{(\ln b/a)^2} \int_0^{2\pi} \int_a^b \frac{1}{r^2} r dr d\varphi = \frac{2\pi\epsilon'}{\ln b/a} \quad \text{F/m}$$

$$R = \frac{R_s}{(2\pi)^2} \left(\int_0^{2\pi} \frac{1}{a^2} ad\varphi + \int_0^{2\pi} \frac{1}{b^2} bd\varphi \right) = \frac{R_s}{2\pi} \left(\frac{1}{a} + \frac{1}{b} \right) \quad \Omega/\text{m}$$

$$G = \frac{\omega\epsilon''}{(\ln b/a)^2} \int_0^{2\pi} \int_a^b \frac{1}{r^2} r dr d\varphi = \frac{2\pi\omega\epsilon''}{\ln b/a} \quad \text{S/m}$$

表 1.1 列出了同轴线、双线和平行板传输线的参量。从下一章将看到,大部分传输线的传播常数、特性阻抗和衰减是直接由场论解法导出的。这里,先求等效电路参数(L, C, R, G)的方法,只适用于相对较简单的传输线。虽然如此,它还是提供了一种有用的直观概念,将传输线和它的等效电路联系起来。

表 1.1 一些常用传输线的参量

| 传 输 线 量 | 同轴线 | 双线 | 平板传输线 |
|------------------|---|---|--------------------------------|
| L | $\frac{\mu}{2\pi} \ln \frac{b}{a}$ | $\frac{\mu}{\pi} \operatorname{arc ch} \left(\frac{D}{2a} \right)$ | $\frac{\mu d}{W}$ |
| C | $\frac{2\pi\epsilon'}{\ln b/a}$ | $\frac{\pi\epsilon'}{\operatorname{arc ch}(D/2a)}$ | $\frac{\epsilon' W}{d}$ |
| R | $\frac{R_s}{2\pi} \left(\frac{1}{a} + \frac{1}{b} \right)$ | $\frac{R_s}{\pi a}$ | $\frac{2R_s}{W}$ |
| G | $\frac{2\pi\omega\epsilon''}{\ln b/a}$ | $\frac{\pi\omega\epsilon''}{\operatorname{arc ch}(D/2a)}$ | $\frac{\omega\epsilon'' W}{d}$ |

2. 无损同轴线的传播常数、阻抗和传输功率

由麦氏方程同时求解 E_r, H_φ 的微分方程式, 可求得 E_r (或 H_φ) 的波动方程

$$\frac{\partial^2 E_r}{\partial z^2} + \omega^2 \mu \epsilon E_r = 0 \quad (1.21)$$

由此方程可见传播常数为 $\gamma^2 = -\omega^2 \mu \epsilon$, 对无损耗介质则

$$\beta = \sqrt{\mu \epsilon} = \omega \sqrt{LC} \quad (1.22)$$

此传播常数与无损耗介质平面波的结果相同, 它是 TEM 波传输线的一般结果。

波阻抗定义为

$$Z_w = E_r / H_\varphi = \omega \mu / \beta = \eta = \sqrt{\frac{\mu}{\epsilon}} \quad (1.23)$$

这时, 波阻抗与介质的内阻抗 η 是一致的, 它也是 TEM 波传输线的一般结果。

同轴线的特性阻抗定义为

$$Z_0 = \frac{V_0}{I_0} = \frac{E_r \ln b/a}{2\pi H_\varphi} = \frac{\eta \ln b/a}{2\pi} = \sqrt{\frac{\mu}{\epsilon} \frac{\ln b/a}{2\pi}} \quad (1.24)$$

式中已使用例 1.1 的 E_r, H_φ 形式。由结果可见, 特性阻抗与传输线的几何形状和填充的介质有关, 不同传输线结构, Z_0 的数值不同。

最后, 同轴线上 ($+z$ 方向) 的功率流, 可利用坡印亭矢量计算, 得

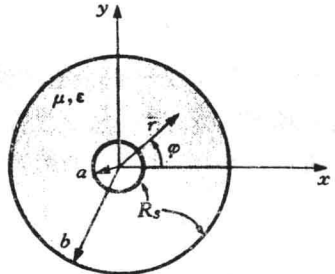


图 1.4 内、外导体具有表面电阻 R_s 的同轴线

$$P = \frac{1}{2} \int_S \mathbf{E} \times \mathbf{H}^* \cdot d\mathbf{S} = \frac{1}{2} \int_0^{2\pi} \int_a^b \frac{V_0 \cdot I_0^*}{2\pi r^2 \ln b/a} r dr d\varphi = \frac{1}{2} V_0 \cdot I_0^* \quad (1.25)$$

这结果与用电路理论得出的结果完全一致,它表明,传输线上的功率流是完全通过两导体间的电磁场产生的,并不是通过导体本身传输的。下面将见到,如果导体的电导率有限,则部分功率还将进入导体,并转化为热能,而不能传到负载去。

1.2 端接不同负载时的无损传输线

端接任意负载阻抗 Z_L 时的无损耗传输线如图 1.5 所示。这里将叙述波在传输线上的反射——分布参数系统的一个基本特性。

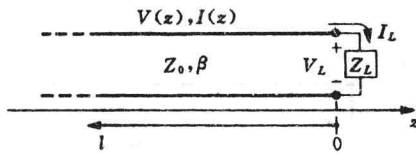


图 1.5 端接任意负载阻抗 Z_L 时的无损耗传输线

1.2.1 传输线上波的反射现象

1. 反射系数

假定 $z < 0$ 处的信号源产生的一个入射波为 $V_0^+ e^{-j\beta z}$ 。已知,这种行波的电压、电流之比为特性阻抗 Z_0 。但是,当传输线端接任意负载 $Z_L \neq Z_0$ 时,负载上电压对电流的比值为 Z_L 。因此,一定会产生一个相应的反射波,以满足上述条件。这时,线上的总电压如(1.14a)

式所示,它是入射和反射波的总和

$$V(z) = V_0^+ e^{-j\beta z} + V_0^- e^{j\beta z} \quad (1.26a)$$

类似地,线上的总电流用(1.14b)表示,为

$$I(z) = \frac{V_0^+}{Z_0} e^{-j\beta z} - \frac{V_0^-}{Z_0} e^{j\beta z} \quad (1.26b)$$

负载上的总电压和总电流的比值为负载阻抗,所以在 $z=0$ 处有

$$Z_L = \frac{V(0)}{I(0)} = \frac{V_0^+ + V_0^-}{V_0^+ - V_0^-} Z_0$$

求解 V_0^- 得

$$V_0^- = \frac{Z_L - Z_0}{Z_L + Z_0} V_0^+$$

距终端 z 处的电压反射系数 $\Gamma(z)$ 定义为该处的电压反射波 $V_0^- e^{j\beta z}$ 与电压入射波 $V_0^+ e^{-j\beta z}$ 之比值,即

$$\Gamma(z) = V_0^- e^{j\beta z} / V_0^+ e^{-j\beta z} \quad (1.27a)$$

$z=0$ 处终端电压反射系数为

$$\Gamma(0) = \frac{V_0^-}{V_0^+} = \frac{Z_L - Z_0}{Z_L + Z_0} \quad (1.27b)$$

类似地,亦可由反射电流波导出电流反射系数。但是,由于电流反射系数正好是电压反射系数的负值(如(1.26)式所见到的),为防止混淆,本书中我们只使用电压反射系数。

这时,线上的总电压和总电流可写成

$$V(z) = V_0^+ [e^{-j\beta z} + \Gamma e^{j\beta z}] \quad (1.28a)$$

$$I(z) = \frac{V_0^+}{Z_0} [e^{-j\beta z} - \Gamma e^{j\beta z}] \quad (1.28b)$$

由这些方程可见,线上的电压和电流,由入射和反射波叠加组成,称之为驻波,只有 $\Gamma=0$ 时才没有反射波。为使 $\Gamma=0$,负载阻抗 Z_L 必须等于传输线的特性阻抗 Z_0 。由(1.27)式可知,这种负载在传输线上不会产生反射波,称为匹配状态。

2. 平均功率流和回波损耗

现在考虑沿着传输线上 z 点流动的时间平均功率

$$P_{av} = \frac{1}{2} \operatorname{Re}[V(z)I(z)^*] = \frac{1}{2} \frac{|V_0^+|^2}{Z_0} \operatorname{Re}[1 - \Gamma^* e^{-2j\beta z} + \Gamma e^{2j\beta z} - |\Gamma|^2]$$

导出上式时使用了(1.28)式,括号中间两项为 $A - A^* = 2j \operatorname{Im}(A)$ 形式,为纯虚数,故而上述结果可简化为

$$P_{av} = \frac{1}{2} \frac{|V_0^+|^2}{Z_0} (1 - |\Gamma|^2) \quad (1.29)$$

公式表明,线上任意点的平均功率流为常数,送到负载的总功率 P_{av} 等于入射功率 $|V_0^+|^2/(2Z_0)$ 减去反射功率 $[|V_0^+|^2|\Gamma|^2/(2Z_0)]$ 。如果 $\Gamma=0$,没有反射功率送到负载的功率最大。上述讨论假定信号源处是匹配的,使得在 $z < 0$ 的反射波不会再次被反射。

上述分析表明,负载不匹配时,从信号源来的有效功率并没有全部送到负载上,有一部分功率被反射,这种损耗称之为“回波损耗”,用 dB 定义为

$$RL = -20 \lg |\Gamma| \quad \text{dB} \quad (1.30)$$

匹配负载 $\Gamma=0$ 时的回波损耗为 ∞ dB(无反射功率);而全反射 $\Gamma=1$ 时,回波损耗为 0 dB(全部入射波被反射)。

3. 驻波比

如果负载对传输线匹配, $\Gamma=0$,线上电压的幅度为 $|V(z)| = |V_0^+|$,是一个常数。但是,当负载不匹配时,有反射波存在将导致线上产生驻波,使得线上电压幅度不是常数。因此,由式(1.28a)得

$$|V(z)| = |V_0^+| |1 + \Gamma e^{-2j\beta l}| = |V_0^+| |1 + |\Gamma| e^{j(\theta - 2\beta l)}| \quad (1.31)$$

式中, $l = -z$ 是离开负载($z=0$)处测得的正距离, θ 是反射系数的相位($\Gamma = |\Gamma| e^{j\theta}$)。此结果表明,电压幅度随沿线的位置 z 不同而不同。当相位项 $e^{j(\theta - 2\beta l)} = 1$ 时出现最大值,为:

$$V_{\max} = |V_0^+| (1 + |\Gamma|) \quad (1.32 \text{ a})$$

当相位项 $e^{j(\theta - 2\beta l)} = -1$ 时出现最小值,为

$$V_{\min} = |V_0^+| (1 - |\Gamma|) \quad (1.32 \text{ b})$$

$|\Gamma|$ 增大时, V_{\max} 对 V_{\min} 的比值增大,所以引出一个反映线上不匹配情况的量,称之为驻波比 ρ (SWR),定义为:

$$\rho = \frac{V_{\max}}{V_{\min}} = \frac{1 + |\Gamma|}{1 - |\Gamma|} \quad (1.33)$$

这数值有时亦称为电压驻波比。由(1.33)式可见, ρ 为实数,其数值变化范围为 $1 \leq \rho \leq \infty$, $\rho=1$ 意味着负载匹配。

由(1.31)式可见,相邻的电压最大值(或最小值)之间的距离为: $l = \frac{2\pi}{2\beta} = \frac{\pi\lambda}{2\pi} = \frac{\lambda}{2}$, 最大值和最小值之间的距离为: $l = \frac{\pi}{2\beta} = \frac{\lambda}{4}$, 式中 λ 是传输线上的波长。

(1.27b)式的反射系数是定义在负载 $l=0$ 处反射电压对入射电压幅度的比值,可以将它一般化。由(1.26a)式, $z=-l$ 时反射电压对入射电压的比值为